

FIG. 1

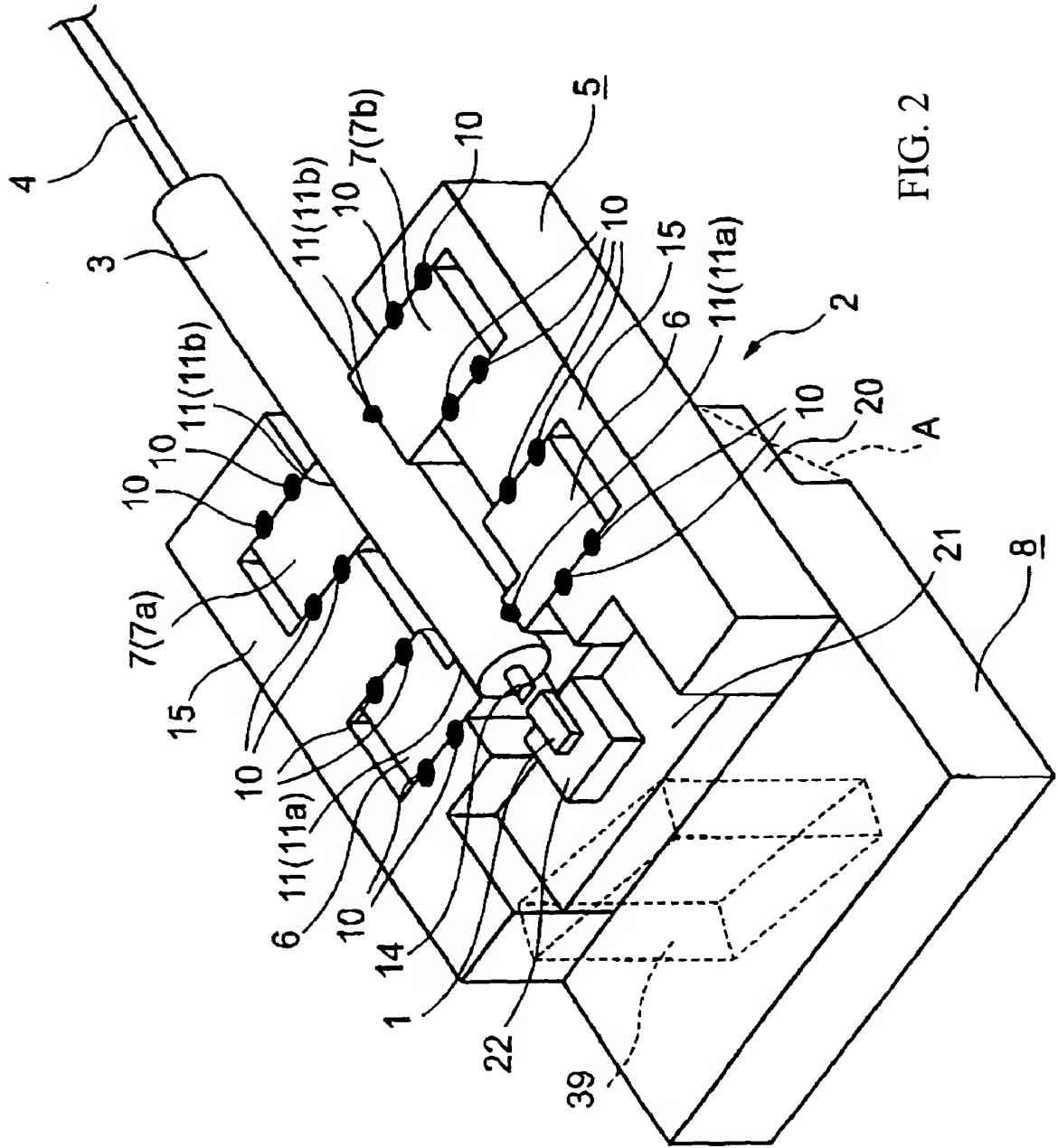


FIG. 2



FIG. 3

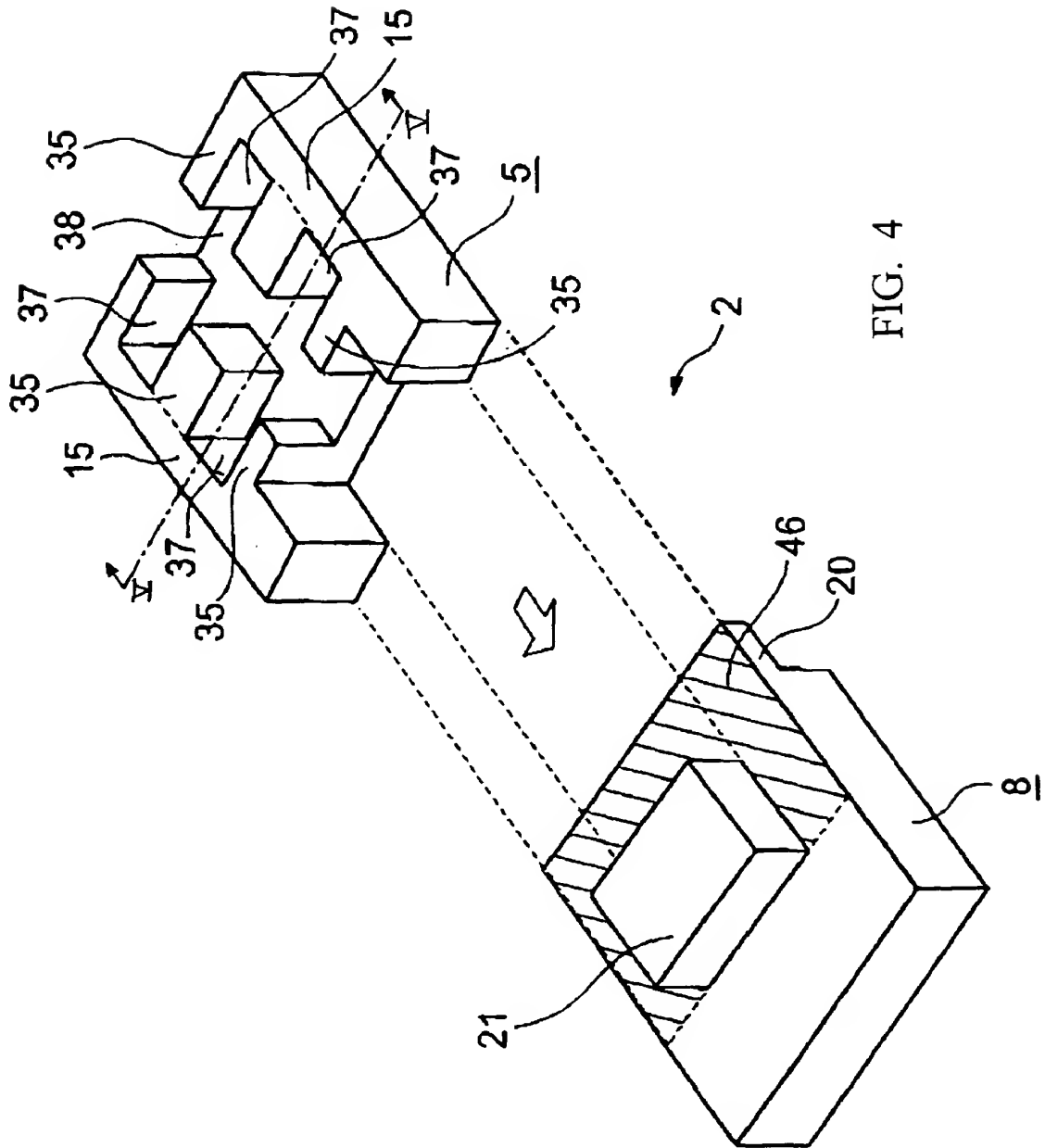


FIG. 4

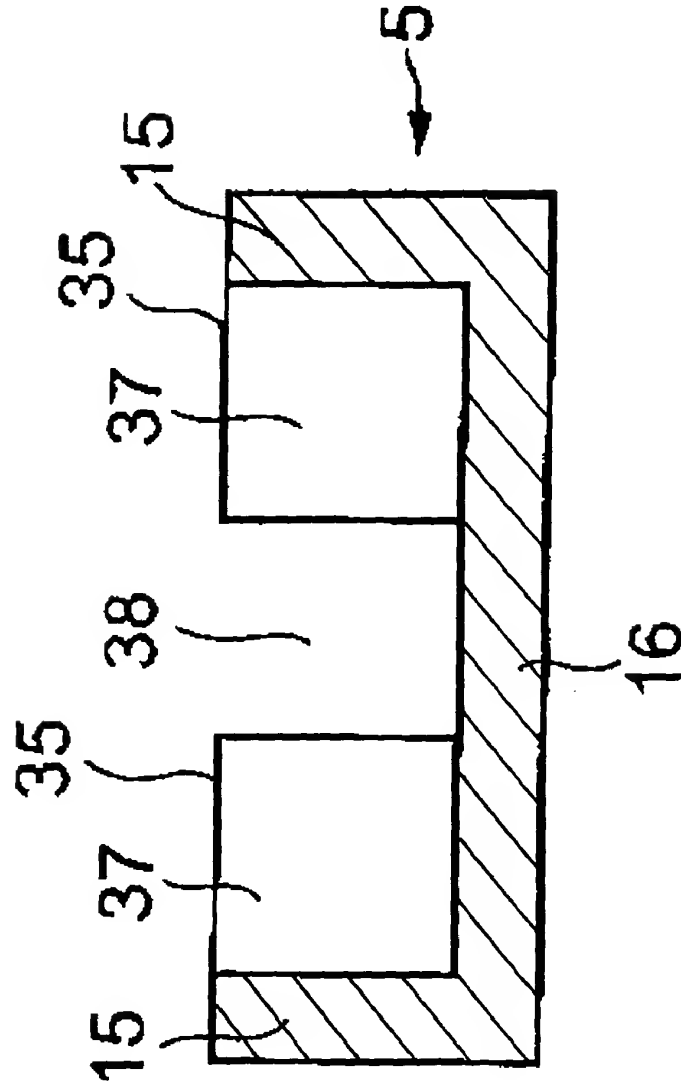


FIG. 5

FIG. 6(a)

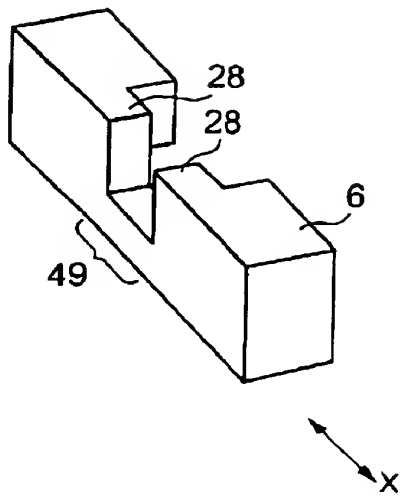


FIG. 6(b)

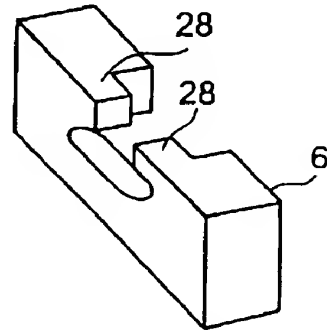


FIG. 6(c)

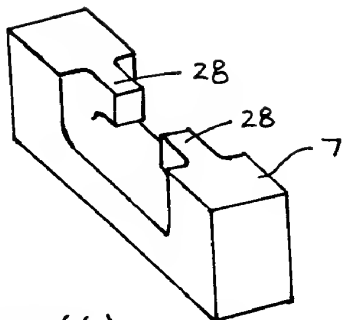
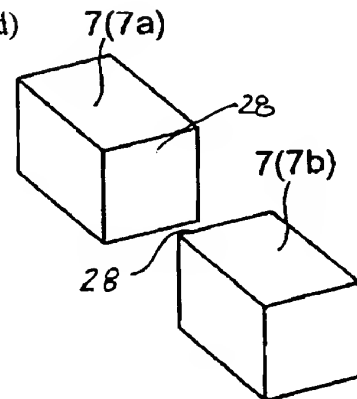


FIG. 6(d)



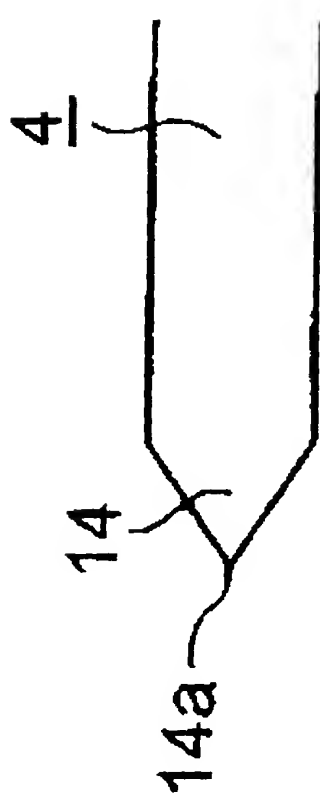
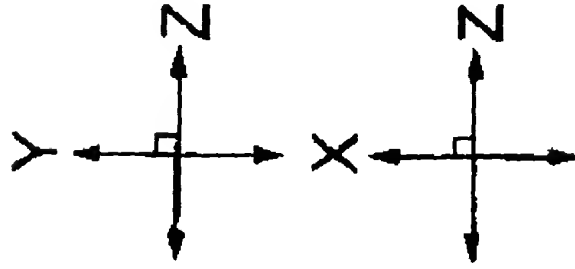


FIG. 7(a)

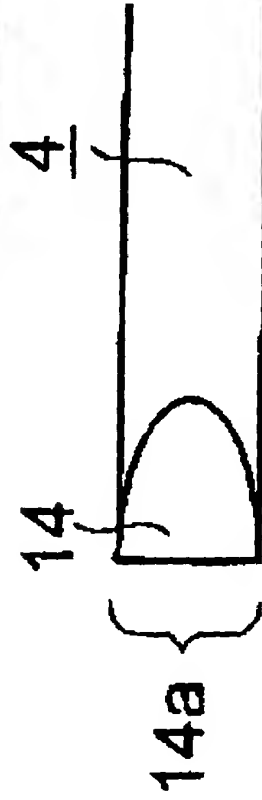


FIG. 7(b)

FIG. 7(a) 2016.03.06

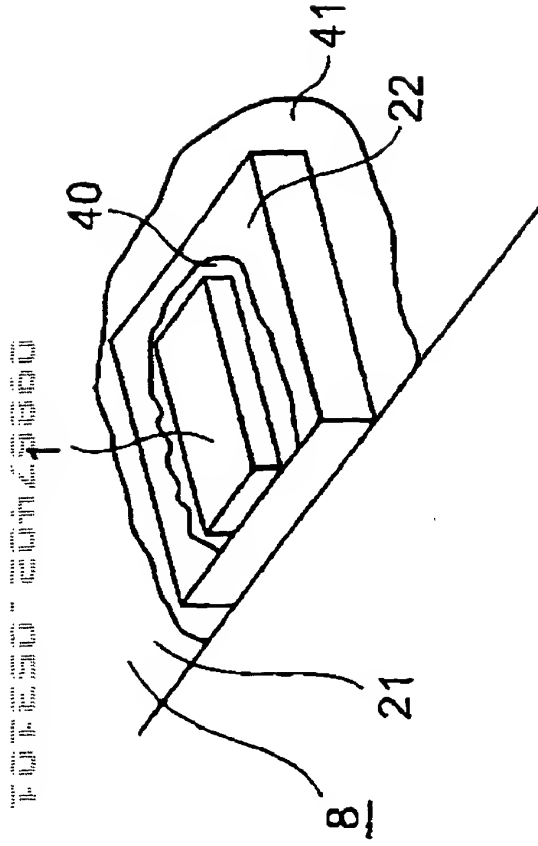


FIG. 8(a)

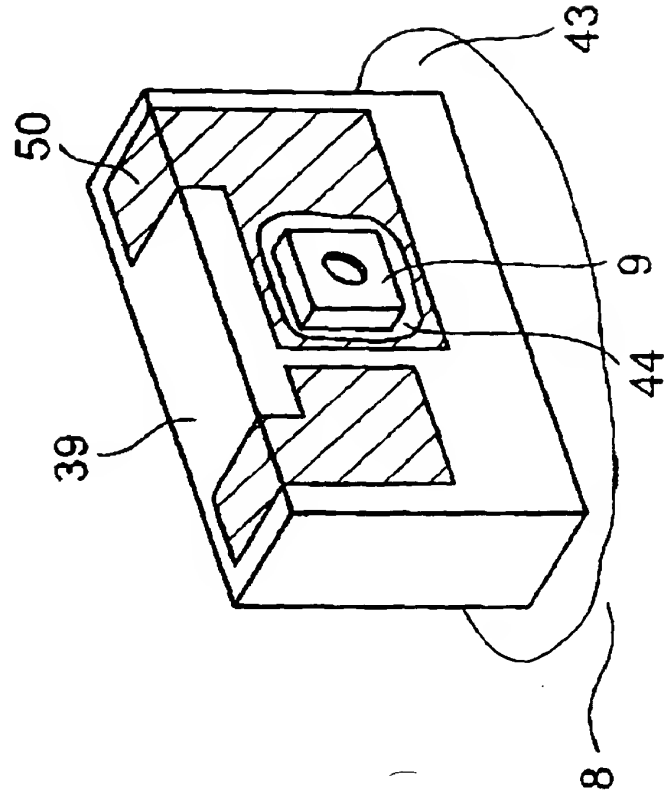
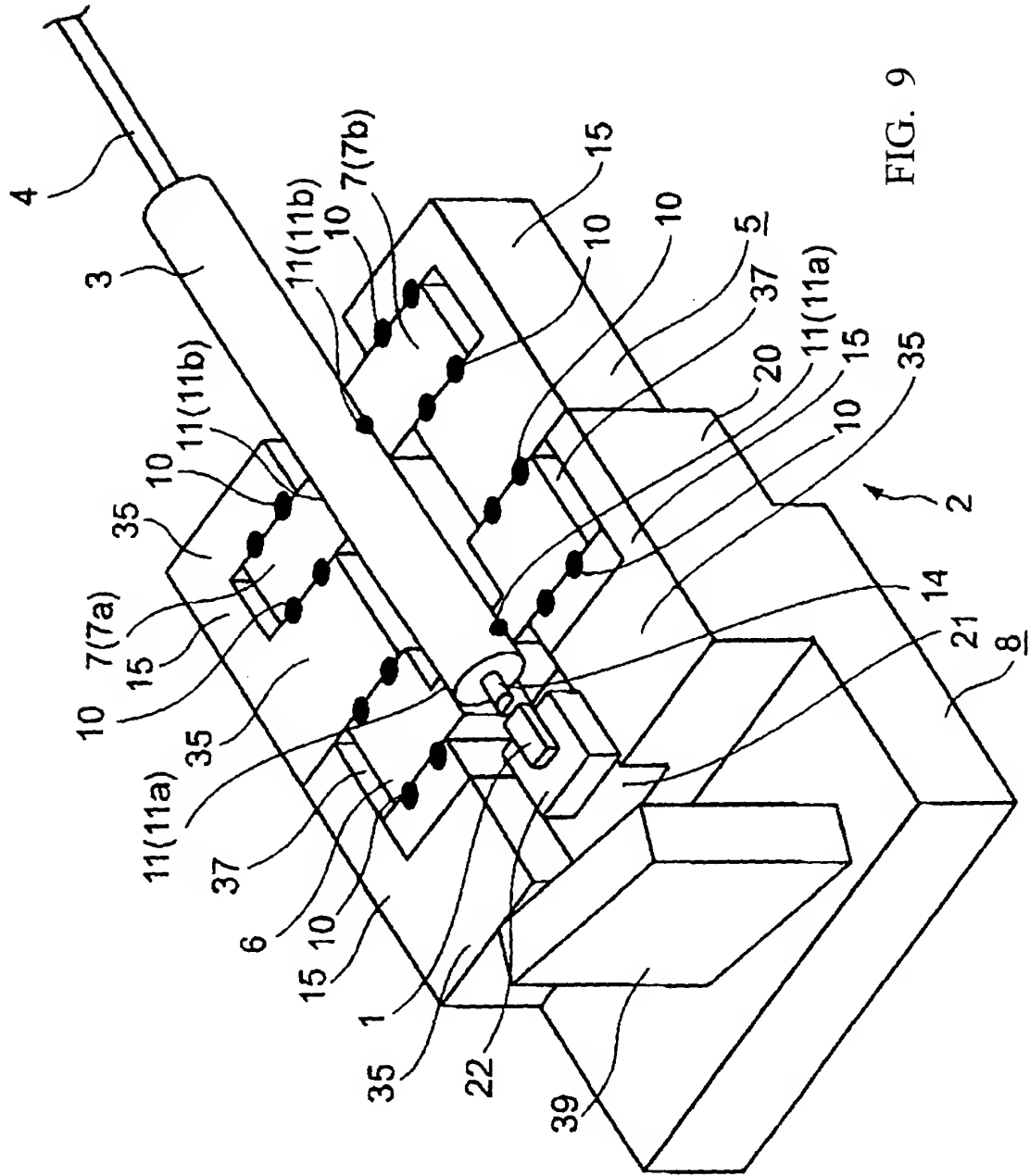


FIG. 8(b)



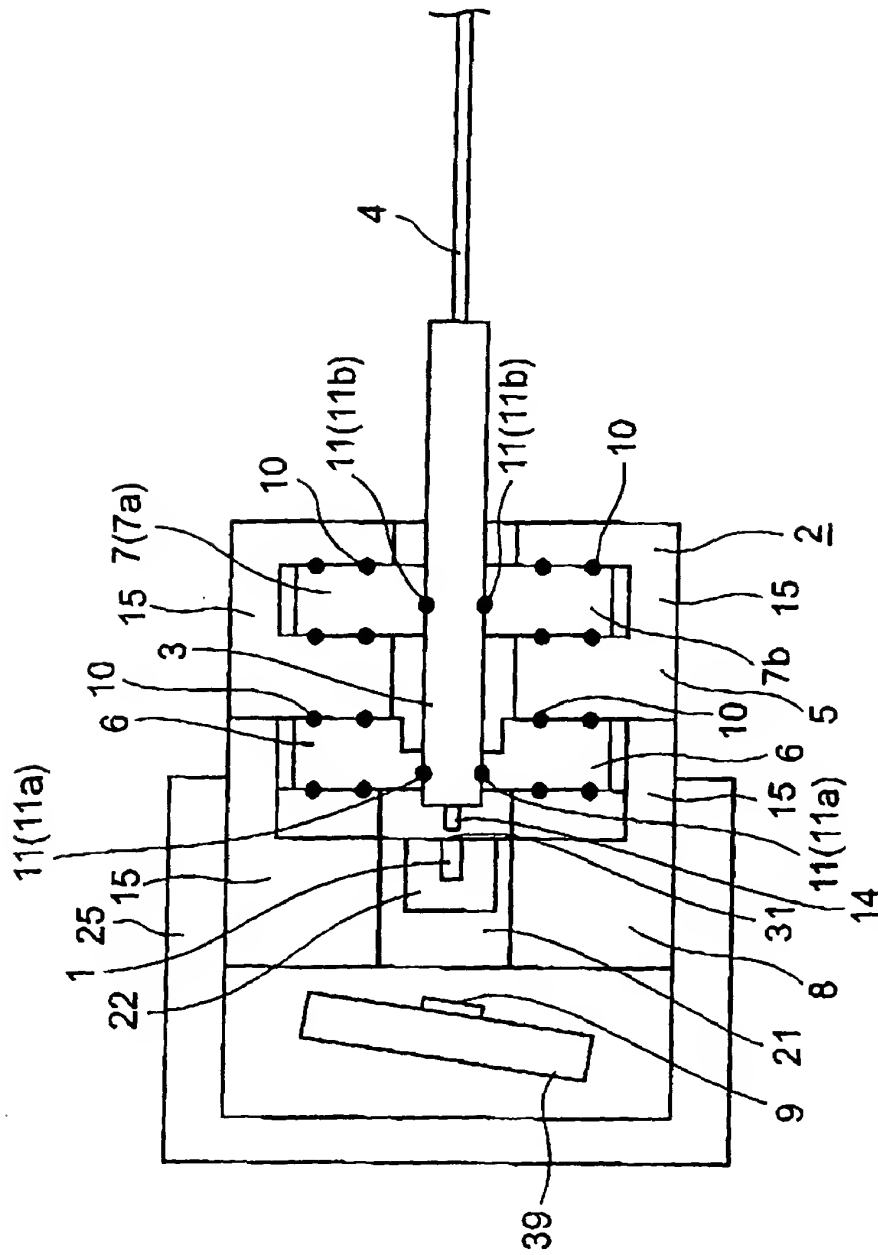


FIG. 10

FIG. 11

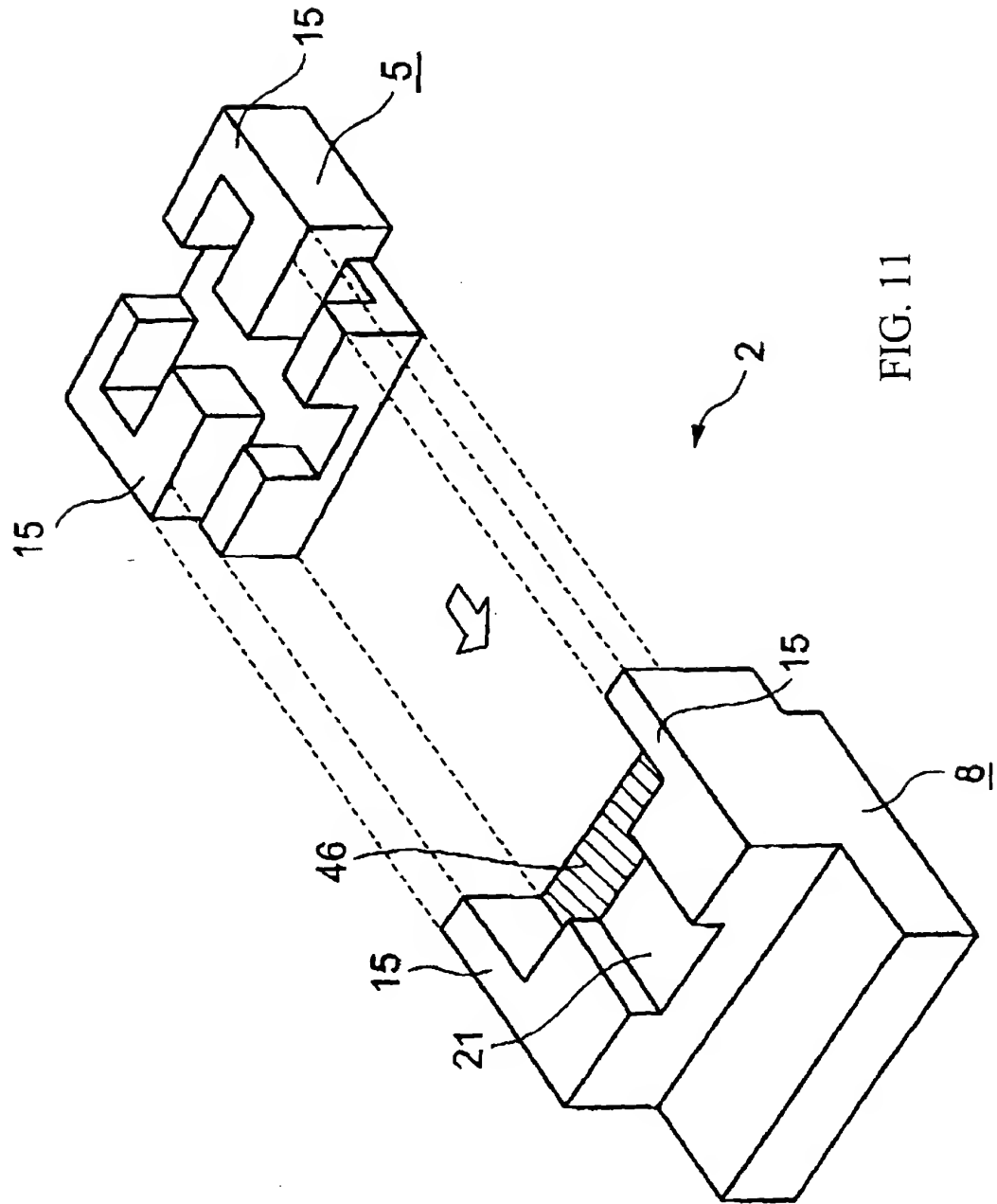


FIG. 11

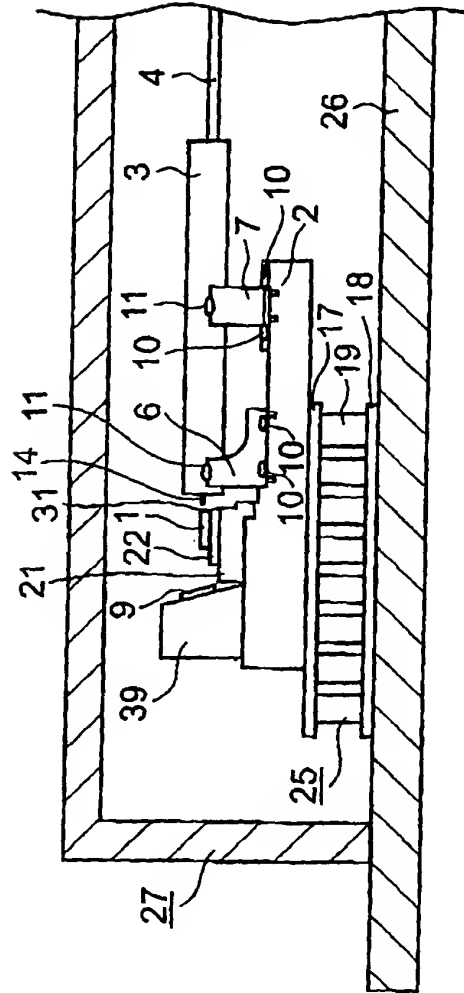


FIG. 12 (b)

Fig. 13(a)

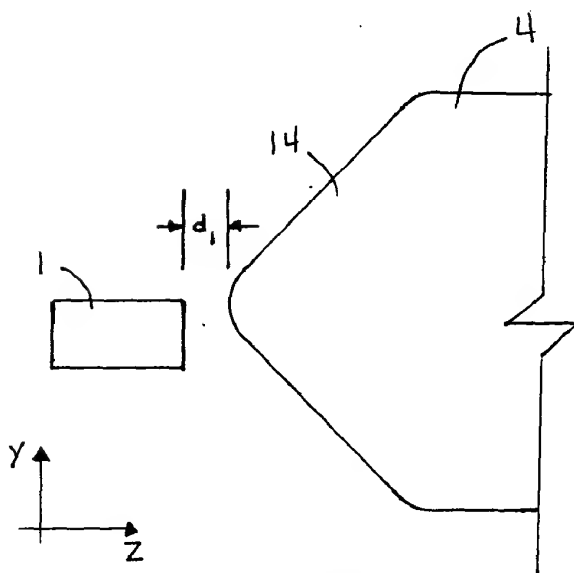
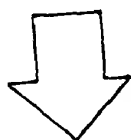
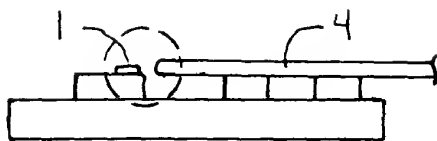


Fig 13(b)

Fig. 14(a)

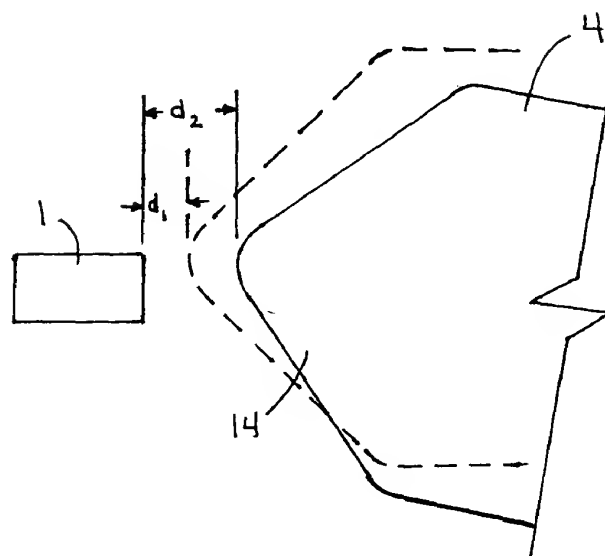
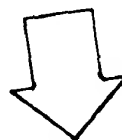
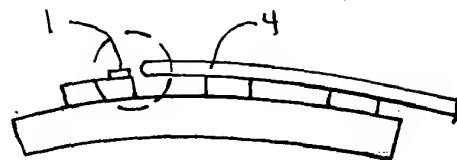


Fig. 14(b)

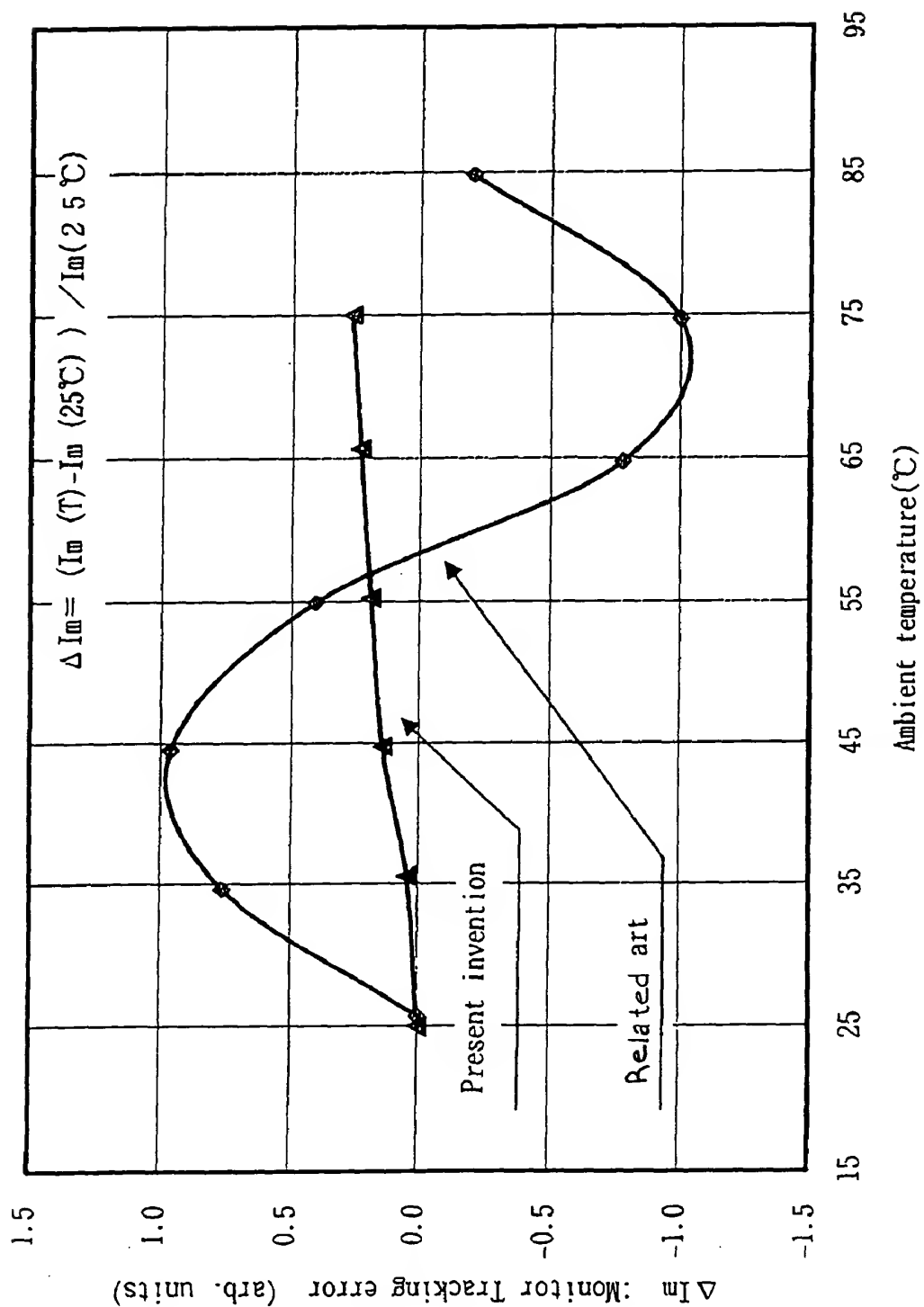
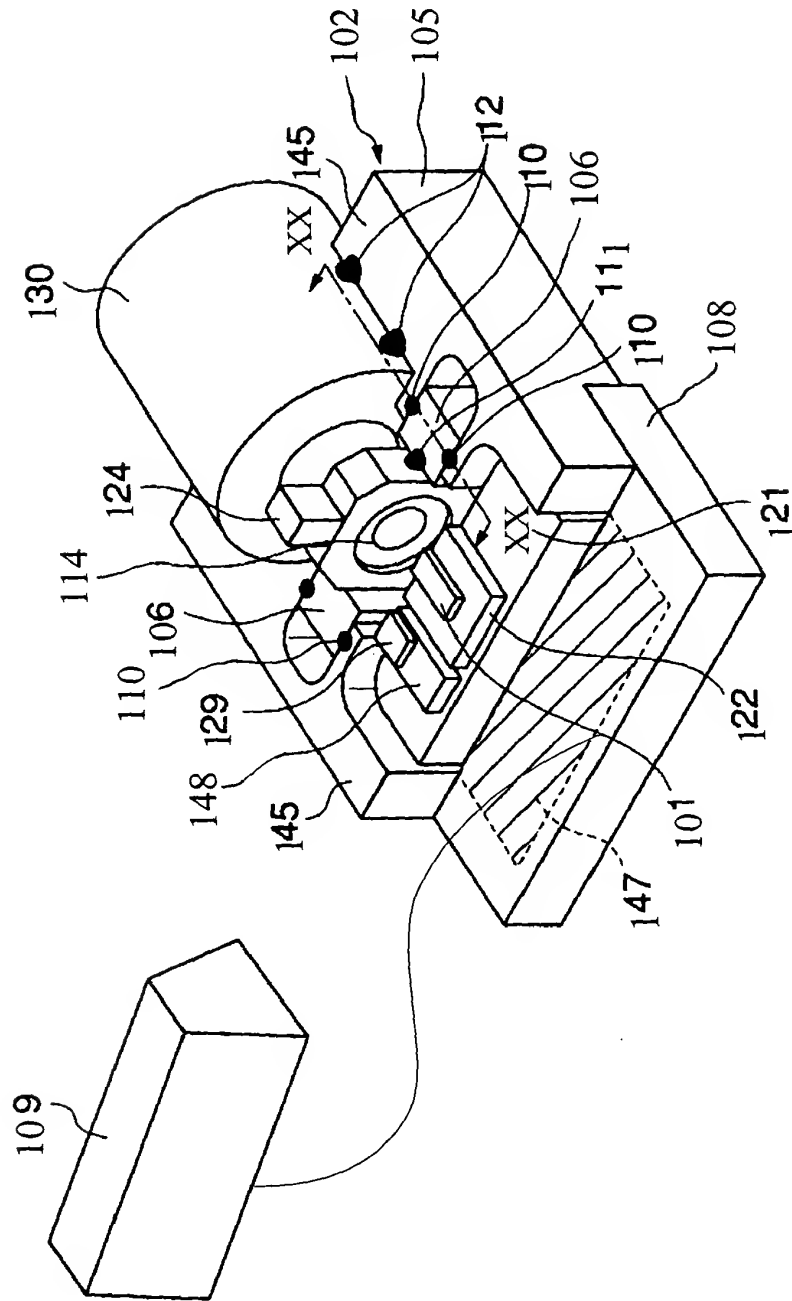
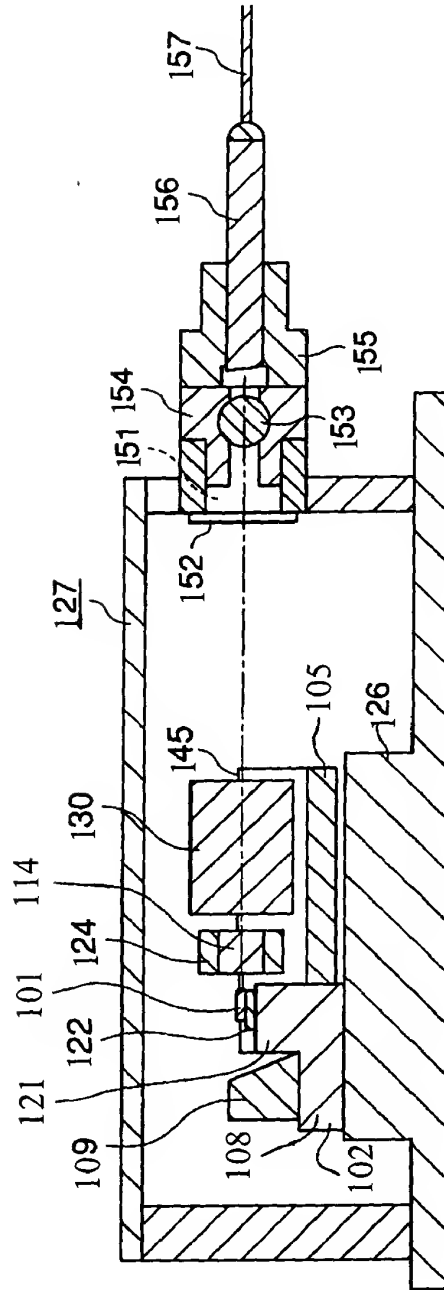


Fig. 15 Improvement in Monitor Tracking Error

[illegible]

	0	1	2	3	4	5	6	7	8	9	10	11	12	13	14	15	16	17	18	19	20	21	22	23	24	25	26	27	28	29	30	31	32	33	34	35	36	37	38	39	40	41	42	43	44	45	46	47	48	49	50	51	52	53	54	55	56	57	58	59	60	61	62	63	64	65	66	67	68	69	70	71	72	73	74	75	76	77	78	79	80	81	82	83	84	85	86	87	88	89	90	91	92	93	94	95	96	97	98	99	100
0	0.0000	0.0001	0.0002	0.0003	0.0004	0.0005	0.0006	0.0007	0.0008	0.0009	0.0010	0.0011	0.0012	0.0013	0.0014	0.0015	0.0016	0.0017	0.0018	0.0019	0.0020	0.0021	0.0022	0.0023	0.0024	0.0025	0.0026	0.0027	0.0028	0.0029	0.0030	0.0031	0.0032	0.0033	0.0034	0.0035	0.0036	0.0037	0.0038	0.0039	0.0040	0.0041	0.0042	0.0043	0.0044	0.0045	0.0046	0.0047	0.0048	0.0049	0.0050	0.0051	0.0052	0.0053	0.0054	0.0055	0.0056	0.0057	0.0058	0.0059	0.0060	0.0061	0.0062	0.0063	0.0064	0.0065	0.0066	0.0067	0.0068	0.0069	0.0070	0.0071	0.0072	0.0073	0.0074	0.0075	0.0076	0.0077	0.0078	0.0079	0.0080	0.0081	0.0082	0.0083	0.0084	0.0085	0.0086	0.0087	0.0088	0.0089	0.0090	0.0091	0.0092	0.0093	0.0094	0.0095	0.0096	0.0097	0.0098	0.0099	0.0100



[illegible]

FIG. 18

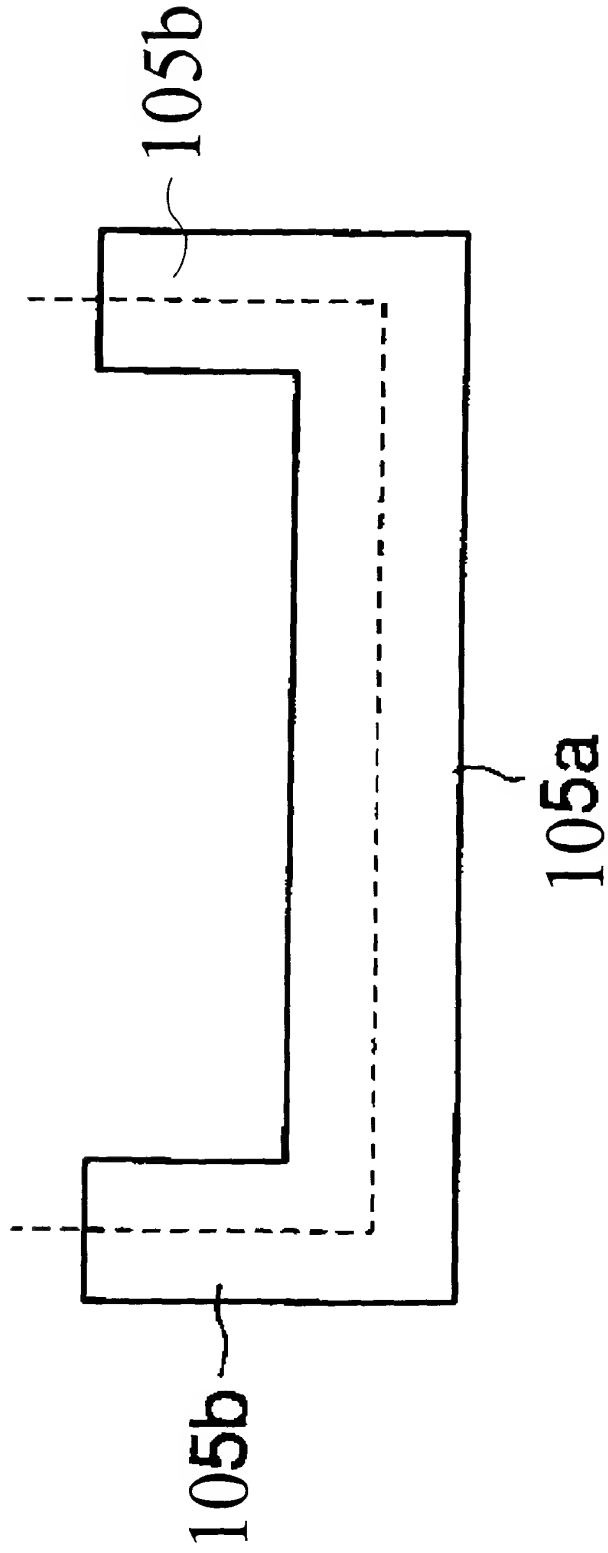


FIG. 19

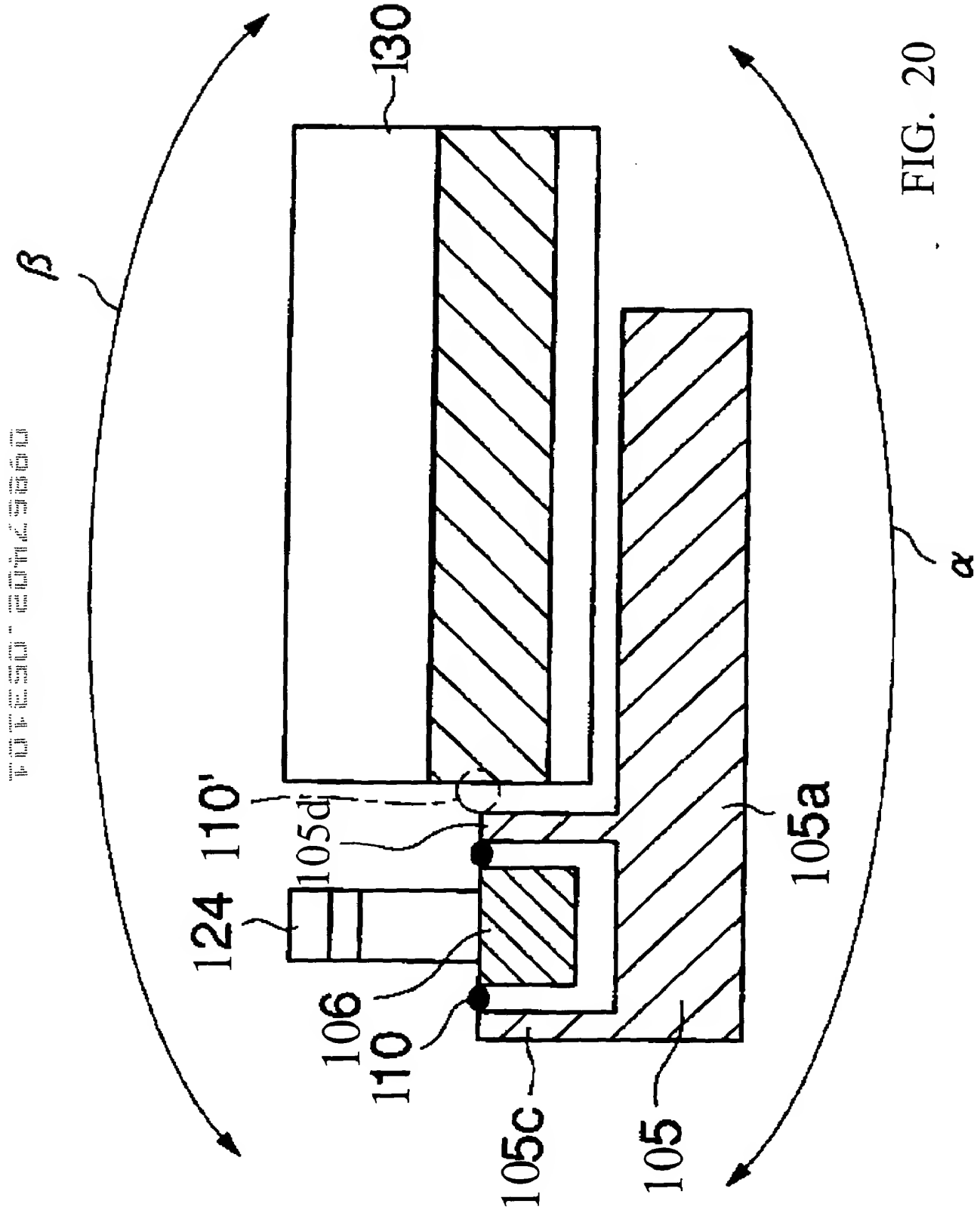


FIG. 20

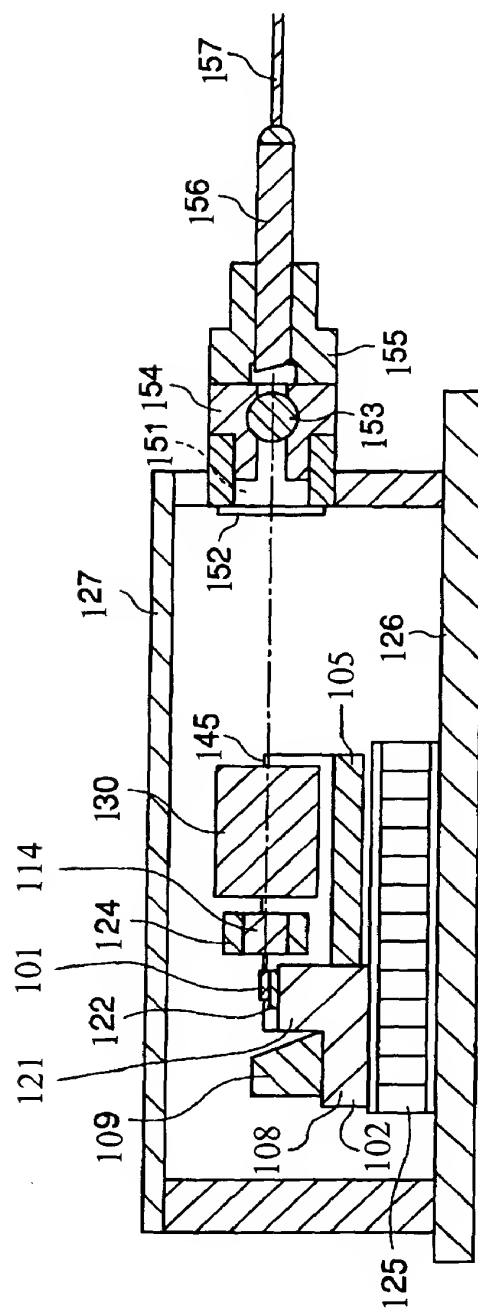


FIG. 21

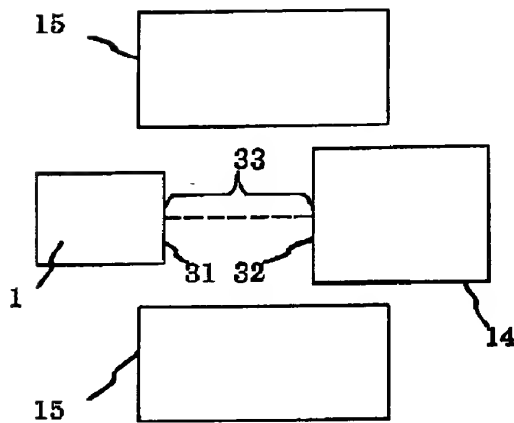


FIG. 22

FIG. 23(a)

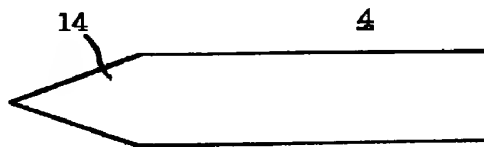


FIG. 23(b)

